Digitised by the Harvard University, Download from The BHL http://www.biodiversitylibrary.org/; www.biologiezentrum.at

Über den Bau der Rispen des *Trisema Wagapii* Vieill.

von

Dr. **Rudolf Wagner.**

(Mit 7 Textfiguren.)

(Vorgelegt in der Sitzung am 10. Mai 1906.)

Die morphologischen Verhältnisse der von J. D. Hooker in seiner Arbeit »Descriptions of Two New Dilleniaceous Plants from New Caledonia and Tropical Australia« im Jahre 1857 aufgestellten Gattung *Trisema*[1] sind noch außerordentlich wenig bekannt und beschränken sich mit Ausnahme des im großen und ganzen mitgeteilten Blütenbaues auf sehr vage Daten, aus welchen Genaueres zu entnehmen nicht möglich ist. Die sehr merkwürdigen Verhältnisse, die der Blütenstand bietet, stehen nach meinen bisherigen Erfahrungen ganz vereinzelt da und auch die Gattung *Hibbertia* Andr., mit der *Trisema* von Baillon[2] und später von Gilg[3] und Briquet[4] vereinigt wurde, bietet nichts Ähnliches, wenigstens soweit bekannt; die Sektion *Trisema*, wenn man Baillon folgt, hat damit zum mindesten eine isolierte Stellung. Da in den folgenden Zeilen der Blütenbau nicht behandelt werden soll — mit Ausnahme des zum Verständnis der Verzweigung nötigen Kelchanschlusses — sondern eine Erörterung der blütenmorphologischen Charaktere einer sich auf ein breiteres Material stützenden Untersuchung zufällt, so wird auch nicht in dezidierter Weise zur Frage der Gattungsselbständigkeit Stellung genommen.

[1] Kew Journ. Bot., Vol. 9, p. 47 mit Taf. I.

[2] Hist. plant., Vol. I.

[3] Engler und Prantl, Nat. Pflanzenfam., III[6], p. 115 (1893).

[4] Ann. Conserv. et Jard. Bot. Genève, 1900, p. 217, ex Ind. Kew.

Digitised by the Harvard University, Download from The BHL http://www.biodiversitylibrary.org/; www.biologiezentrum.at

Der Name der Gattung gründet sich auf das Vorhandensein von drei Kronblättern,[1] die auf den pentameren, eutopisch-quinkunzialen Kelch folgen, während die Gattung *Hibbertia* oder, wenn man will, die anderen Sektionen der Gattung *Hibbertia* eine isomere Krone aufweisen. Gegründet wurde sie auf einen von J. Macgillivray und Milne anläßlich der Reise des Kapitäns Denham im Oktober 1853 auf der zu Neukaledonien gehörenden Fichteninsel, die mit der Insel Wagap der späteren Vieillard'schen Kollektion identisch sein dürfte, gesammelten Strauch, der daselbst in nicht näher angegebener Meereshöhe »versus summum montis« wächst und seiner lederigen Blätter wegen den Namen *Tr. coriaceum* Hook. fil. erhielt.[2] Später (1864) wurden noch von dem bereits genannten Vieillard einige nahestehende Sträucher gesammelt, die sich habituell, wenigstens soweit die spärlichen Herbarexemplare derartige Schlüsse zulassen, nur wenig von der ersten Art unterscheiden, und es scheint, daß auch die Charaktere des Blütenstandes in hohem Maße übereinstimmen, so daß auch in dieser Beziehung die Trisemen eine abgerundete Gruppe bilden. Eine Übersicht über die Arten teilt Gilg in der »Nat. Pflanzenfam.«, III[6], p. 115, mit. Die Artunterschiede bestehen in der mehr oder minder eiförmigen Gestalt der Blüten, der Größe der Blüten, der Beschaffenheit des Indumentes, auch wäre vielleicht die vegetative Verzweigung heranzuziehen, doch liegt die Frage nach der Artabgrenzung außerhalb des Rahmens dieser Arbeit; sie muß sich außerdem auf ein sehr viel reicheres Material stützen, um so mehr als, wie gesagt, die Formen einander recht nahe stehen.

Die Blütenstände sind terminal,[3] im übrigen beschränkt sich die Beschreibung auf die für alle Arten gültige Angabe:

---

[1] Die Schreibweise »*Trisemma*« bei Pancher et Sebert (Not. Bois. Nouv. Caléd.) ist etymologisch falsch. Soweit beobachtet, stehen die Petala zwischen den Sepp. 1 und 3, 2 und 4 sowie 3 und 5 und decken sich entsprechend; cfr. die Diagramme Fig. 3 und 7.

[2] Habitusbild eines Zweiges, l. c., Taf. 1; ebenso Blütenanalyse.

[3] Die gegenteilige Angabe der ursprünglichen Diagnose wird in obigem Zitat (Bentham et Hooker fil., Genera plantarum, Vol. I, p. 14 [VII, 1862]) richtig gestellt.

Digitised by the Harvard University, Download from The BHL http://www.biodiversitylibrary.org/; www.biologiezentrum.at

»Flores secus ramos paniculae terminalis sericeo-canescentis sessiles, unilaterales, bracteolis 1—2 fulti«. Aus der Bezeichnung »panicula« wird man entnehmen, daß es sich um einen zum mindesten verzweigten Blütenstand handelt; die unilaterale Anordnung läßt einen ziemlich sicheren Schluß auf Wickelsympodien zu, der um so näher demjenigen liegt, der die Partialinfloreszenzen der zwar in eine andere Tribus, aber doch in die nämliche Familie gehörenden Schumacherien Ceylons kennt, die zwar einer genaueren Bearbeitung zur Zeit noch entbehren, aber, was den Habitus anbelangt, mit gewohnter Meisterschaft von Baillon für *Schumacheria castaneaefolia* Vahl zur Darstellung gebracht worden sind.[1]

Die Angabe »bracteolis 1—2 fulti« weist auf ein verschiedenes Verhalten der Blüten hin, doch läßt die Hooker'sche Abbildung in dieser Hinsicht völlig im Stich. Die folgenden Ausführungen sind zunächst Blütenstände von *Trisema Wagapii* Vieill. oder *Hibbertia Wagapii* (Vieill.) Gilg zu Grunde gelegt (Vieillard n. 1).

---

[1] Hist. plant., Vol. I, p. 102, Fig, 140 (1868); kopiert von Gilg in Engler und Prantl, Nat. Pflanzenfam., III[6], Fig. 64. Eine weniger schöne Abbildung hat Wight 1840 in seinen Ill. Ind. Bot., Vol. I, Taf. 1, veröffentlicht. In welcher Weise die Wickelsympodien zu rispigen Blütenständen zusammentreten, ist ohne genauere Untersuchung nicht festzustellen. Eine andere der drei Arten, *Sch. angustifolia* Hook. fil. et Thoms., wurde 1893 von Trimen in seiner Flora of Ceylon, pl. II, abgebildet; die Blütenstände sind wie bei der dritten, soweit mir bekannt, nicht abgebildeten Art, *Sch. alnifolia* Hook. fil. et Thoms., Wickelsympodien, bisweilen in nicht näher bekannter Art gegabelt. Ferner finden wir zweifellose Wickelsympodien bei den zur Sektion, früher Gattung *Hemistemma* gehörigen Hibbertien; man vergleiche nur die Abbildungen von *H. candicans* Hook. fil. in Kew. Journ. Bot., Vol. IX (1857), tab. 2, *H. angustifolia* (R. Br.) Benth. in Deless., Ic. Sel., Vol. I (1820), tab. 77, *H. dealbata* Benth. in Deless., l. c., tab. 76, aus Australien oder der beiden madagassischen Arten, die l. c. tab. 74 und 75 unter dem Namen *Hemistemma Commersonii* DC., beziehungsweise *H. Aubertii* DC. abgebildet sind. Diese Beispiele ließen sich noch aus der Gattung *Hibbertia* beträchtlich vermehren; wahrscheinlich gehören die einseitwendigen Blütenstände mancher *Wormia*-Arten auch hieher, cfr. *W. triquetra* Rottb. in Trimen, Fl. Ceyl., tab. III; indessen lassen die Abbildungen einen im Stich, die von *W. madagascariensis* DC. in Deless., l. c., tab. 82, und von *W. Burbidgei* Hook. fil. aus Borneo in Curtis' Bot. Mag., tab. 6351 (1880), sind mir unverständlich, der Text ist vieldeutig.

Digitised by the Harvard University, Download from The BHL http://www.biodiversitylibrary.org/; www.biologiezentrum.at

I.

Ein durch Infloreszenz abgeschlossener Zweig, dessen Gesamtlänge 6 *cm* beträgt, ist in Fig. 1 abgebildet.[1] Das graue, feine, seidenglänzende Indument, das den ganzen Blütenstand und auch die Unterseite der Blätter überzieht, konnte bei der gewählten Technik nicht zum Ausdruck gebracht werden. Auf die Laubblätter, die nach oben nur wenig an Größe abnehmen, folgt ein terminaler Blütenstand; in der Achsel des obersten Laubblattes ist eine Knospe sichtbar, und zwar diejenige der Hauptinnovation. Die Sympodienbildung erfolgt hier aus der Achsel des obersten Laubblattes, eventuell wohl auch noch aus denjenigen der nächst unteren Blätter. Auf die Laubblätter, die hier annähernd nach zwei Fünftel in einer linksläufigen Spirale stehen — der Ausdruck wird hier in einem dem Gebrauche der übrigen Naturwissenschaften entsprechenden Sinne gebraucht,

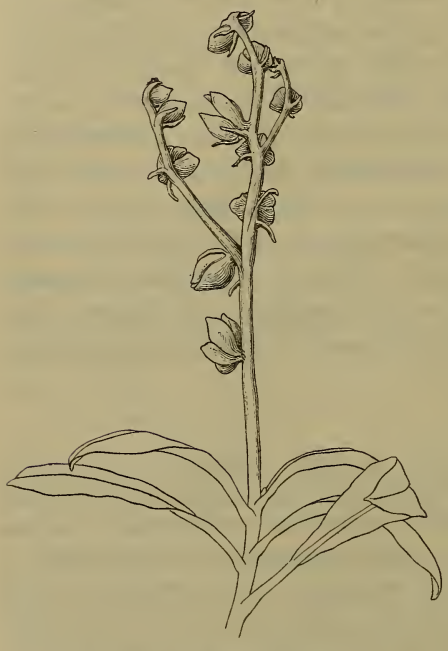

Fig. 1. *Trisema Wagapii* Vieill.

Habitus eines Blütenstandes, der eben aufzublühen begonnen hat. Näheres im Texte. Länge 6 *cm*.

[1] Die Untersuchungen wurden an Materialien des k. k. Naturhistorischen Hofmuseums in Wien durchgeführt; es ist mir daher eine angenehme Pflicht, auch an dieser Stelle dem Leiter der botanischen Abteilung, Herrn Kustos Dr. A. Zahlbruckner, meinen verbindlichsten Dank auszusprechen; ebenso Herrn Prof. Dr. v. Wettstein für die Erlaubnis, die Sammlungen des botanischen Museums der Wiener Universität benützen zu dürfen, die das eine und andere Objekt bargen, das für das erstgenannte Museum ein Desiderat darstellt.

Digitised by the Harvard University, Download from The BHL http://www.biodiversitylibrary.org/; www.biologiezentrum.at

entsprechend einem vor einigen Jahren gemachten Vorschlage[1] — folgt zunächst ein längeres Internodium, das anscheinend bei einer Blüte sein Ende hat. Bei der Untersuchung zeigte es sich, daß bei dieser untersten Blüte ebensowenig wie beim ganzen Blütenstand Brakteen oder Brakteolen abgebrochen sind, sie fehlen vielmehr bei der untersten Blüte vollständig, um aber weiter oben, und zwar an den dünnsten Auszweigungen sogar in Zweizahl aufzutreten; bei der Feinheit des Indumentes macht sich irgend welche Abbruchstelle sofort bemerkbar. Geht man von den Partialinfloreszenzen aus, so ist schon aus der Kelchdeckung die Bestimmung der einzelnen Hochblätter eine leichte: an der Basis jeder Blüte findet man das α-Vorblatt, das eines Achselproduktes stets entbehrt. Das andere der Blüte benachbarte Blatt ist das β-Vorblatt der nächst tiefer inseriert scheinenden Blüte, das mit seinem Achselprodukt hoch hinauf verwachsen ist, ein Verhältnis, das uns auch außerhalb der Familie in den allerverschiedensten Verwandtschaftskreisen begegnet. Bei der Alternation der Richtungsindizes haben wir also ein Wickelsympodium, und zwar ein β-Wickel kompliziert durch weitgehende Rekauleszenz.[2] Die in der Abbildung unterste dieser Partialinfloreszenzen endigt, wie gleich bemerkt sein mag, bei einer anderen Scheinachse; bevor sie diese erreicht, ist noch ein augenscheinlich nach r e c h t s fallendes, in der Abbildung größtenteils verdecktes α-Vorblatt entwickelt. In analoger Weise sind die beiden anderen Partialinfloreszenzen zu deuten, deren eine so auffallend schwächer entwickelt ist;

---

[1] Diese Sitzungsberichte, Bd. 110, Abt. I, Separatabdruck p. 8 sq.

[2] Rekauleszenz findet sich in verschiedenen Gattungen der Dilleniaceen, so zweifellos bei den durch Wickelsympodien ausgezeichneten *Hibbertia*-Arten (cfr. p. 859, Anmerkung), dann in Gestalt der akropetal und mit steigendem Generationsindex zunehmender Rekauleszenz, die als progressive bezeichnet sein mag und in großer Verbreitung in den verschiedensten Verwandtschaftskreisen auftritt, bei der tropisch-asiatischen *Delima sarmentosa* L., in eigentümlicher, meines Wissens einzig dastehender Art bei den Flachsprossen von *Pachynema dilatatum* B e n t h. und *P. complanatum* R. Br. Letztere Art wurde in D e l e s s., Ic. Sel., I, tab. 73, abgebildet, wobei die Einzelheiten zumeist richtig gegeben sind, was man von anderweitig publizierten Darstellungen der Gattung nicht behaupten kann. Auch *P. junceum* B e n t h. zeigt, wenigstens an bestimmten Sprossen, Rekauleszenz.

Digitised by the Harvard University, Download from The BHL http://www.biodiversitylibrary.org/; www.biologiezentrum.at

ihre Interpretation führt zu der Feststellung, daß ihre untersten Blüten, die eine im Bilde nach links gewandt, die andere von der Gabelung teilweise verdeckt, ein nach links fallendes α-Vorblatt haben, also homodrom sind. Nun finden wir neben dem einen α-Vorblatt noch ein mehr gegen den Beschauer gerichtetes, daher etwas verkürztes Blatt, zweifellos das β-Vorblatt, der zwischen der oberen und unteren Gabelung befindlichen, durch eine Scheinachse teilweise verdeckten Blüte, ergo ein nach links fallendes β-Vorblatt, dem in der Tat das in der Verkürzung hakenförmig nach rechts unten gebogene Blatt als α-Vorblatt entspricht. Die beiden der unteren Gabelung benachbarten Blüten sind also homodrom, stehen sonach zueinander im nämlichen Verhältnis wie die der oberen Gabel benachbarten, denen sie antidrom sind. So löst sich die Frage unerwartet, aber ziemlich einfach: Die Gabeln setzen sich aus serialen, homodromen Wickelsympodien zusammen, das letzte, noch der Deutung harrende Blatt, das an der scheinbaren Hauptachse bei der dritten Blüte schräg nach rechts oben zeigt, ist das gemeinsame Tragblatt der serialen unteren Gabeläste, die unterste Blüte die Terminalblüte. Wir gelangen somit zu einer Auffassung des Blütenstandes, wie sie in halbschematischer Weise in Fig. 2 verdeutlicht wird. Hier sind die konsekutiven Sproßgenerationen abwechselnd schraffiert und nicht schraffiert, die Serialsprosse aber in der gleichen Weise behandelt wie das Hauptachselprodukt. Die dunkel

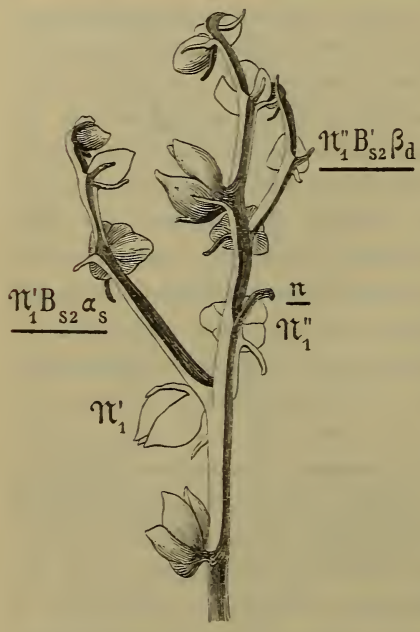

Fig. 2. *Trisema Wagapii* Vieill.

Halbschematische Darstellung des in Fig. 1 dargestellten Blütenstandes. Näheres im Texte.

Digitised by the Harvard University, Download from The BHL http://www.biodiversitylibrary.org/; www.biologiezentrum.at

gehaltenen Teile entsprechen unterstrichenen Formeln, mit einem Strich ist das Hauptachselprodukt, mit zwei Strichen der Serialsproß bezeichnet, die Anwendung griechischer Buchstaben nach einem früheren Vorgang auf sichere Seitenachsen beschränkt, deren Blätter in Beziehung zu den Vorblättern sich bestimmen ließen. Das Blatt $\mathfrak{n}$, somit das auf das Laubblatt $\mathfrak{m}$, das die Innovation stützt, folgende Hochblatt ist mit seinem Achselprodukt, beziehungsweise dem einen derselben und außerdem noch mit dem Sproßsystem $\mathfrak{N}_1''\mathfrak{B}_{s2}^{(2)}$ ein kleines Stück verwachsen,[1] die β-Vorblätter sämtlicher Generationen aber nur mehr bis zum Kelch ihres Achselproduktes. Außerdem sind die Achselprodukte, nämlich Hauptachselprodukt und Serialsproß, miteinander verwachsen; in Diagramm Fig. 3 sind, wie schon in den Abhandlungen über *Roylea*,[2] *Lagochilus*,[3] dann später in der über *Aizoon Kochii*,[4] die miteinander verwachsenen Teile durch Striche verbunden, des weiteren die im Aufriß dunkel gehaltenen Teile schraffiert, beziehungsweise die Blätter stärker ausgezogen.

Wie aus Obigem hervorgeht, hat man die in der Diagnose erwähnte »panicula« nicht, wie zu erwarten, als Pleiochasium, sondern als ein allerdings recht sonderbares Monochasium aufzufassen, als ein serial gefördertes β-Wickelsympodium. Nun ist bei der erdrückenden Mehrzahl aller Fälle bei serial angeordneten Achselprodukten derjenige Sproß der kräftigere, der der Abstammungsachse benachbart ist; in häufigen Fällen erscheint der Beisproß nur in der Gestalt einer Reserveknospe, in anderen wächst er regelmäßig aus, und zwar in ganz

[1] Eine derartige Verwachsung des Tragblattes mit höheren Achselprodukten hat meines Wissens zuerst Velenovský 1883 in der »Flora«, p. 161, mit Taf. V für *Drosera rotundifolia* L. nachgewiesen; bei der australischen *D. binata* Lab. konnte ich sie regelmäßig beobachten. In noch höherem Maße findet sie sich bei einigen Gesneriaceen, nämlich bei den in der Literatur als einseitswendige Trauben unrichtigerweise bezeichneten Wickelsympodien von *Klugia zeylanica* Gardn. und *Rhynchoglossum obliquum* (Wall.) Bl., wahrscheinlich auch bei den anderen Arten der einander so nahe stehenden Gattungen.

[2] Österr. bot. Zeitschr., 1902, p. 4 ff.

[3] Verh. Zool.-botan. Ges., Bd 52 (1902), p. 545.

[4] Ann. Naturhist. Hofm., Bd. 19 (1904), p. 83.

Digitised by the Harvard University, Download from The BHL http://www.biodiversitylibrary.org/; www.biologiezentrum.at

bestimmter Weise, wie ich z. B. für einige *Amorpha*-Arten vor ein paar Jahren nachweisen konnte.[1] In anderen Fällen tritt oberhalb eines Achselproduktes ein anderes auf,[2] das erst

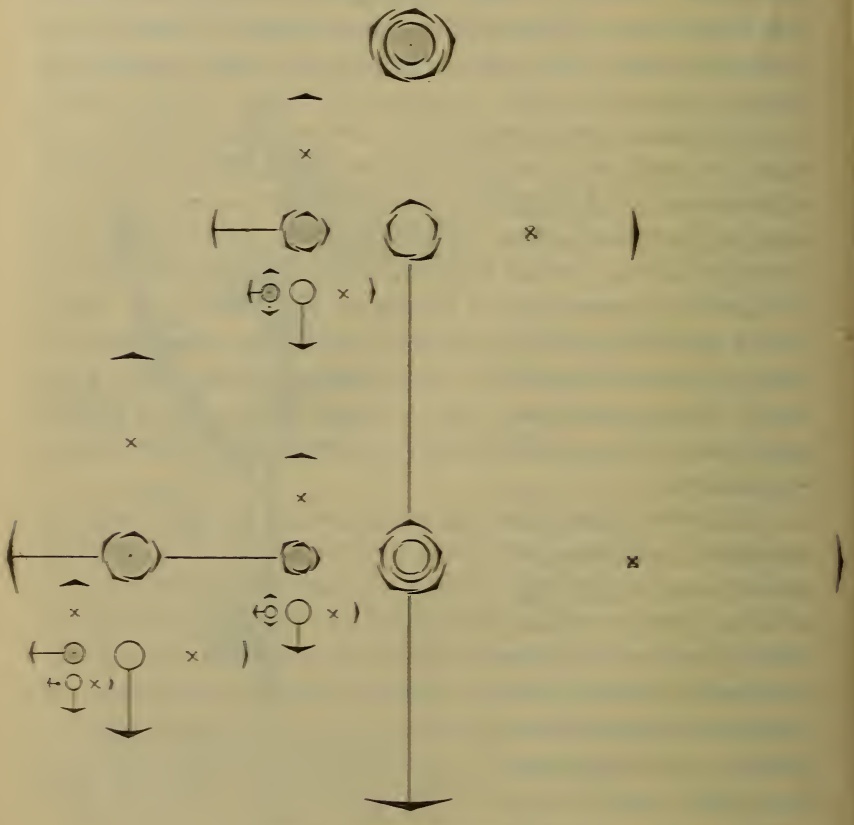

Fig. 3. *Trisema Wagapii* Vieill.

Diagramm des in Fig. 1 und 2 dargestellten Blütenstandes. Näheres im Texte.

später zur Entwicklung gelangt. Auf diese beiden Fälle wurde eine besondere Terminologie gegründet,[3] es wurden die in der

[1] Über *Erythrina Crista-galli* L. in Österr. bot. Zeitschr., 1901, p. 12 (Separatabdruck).

[2] Einige Gattungen sind in den Verh. Zool.-bot. Ges. Wien, Bd. 50 (1900), p. 304, genannt.

[3] Verh. Zool.-bot. Ges. Wien, Bd. 50 (1900), p. 302.

Digitised by the Harvard University, Download from The BHL http://www.biodiversitylibrary.org/; www.biologiezentrum.at

Mediane entwickelten Sprosse, soweit sie Beisprosse sind, als basipetale Serialsprosse, denen die anderen, weit selteneren Fälle als akropetale Serialsprosse gegenüber gestellt wurden. Das geschah zu einer Zeit, in der ich noch ziemlich wenig Pflanzen gesehen hatte, inzwischen haben sich die Anschauungen etwas modifiziert und jetzt scheint es mir richtiger, den Sproß als Hauptachselprodukt zu bezeichnen, der der Abstammungsachse zunächst ist, ohne Rücksicht auf die Art seiner Entwicklung; es kann also der Beisproß früher zur Entwicklung gelangen als das Hauptachselprodukt, es kann letzteres in sehr jugendlichem Stadium sogar verharren, bis es vielleicht durch rein mechanische Momente, wie sie z. B. das sekundäre Dickenwachstum mit sich bringt, zerstört wird. Dies würde die Bestimmung eines Sprosses vegetativen oder floralen Charakters von der Untersuchung des zwischen ihm und der Abstammungsachse gelegenen Winkels abhängig machen; doch wird diese relativ umständliche Arbeit uns dadurch erspart, daß die in Frage kommenden Fälle »akropetaler« Serialsprosse auf wenige Familien beschränkt sind und am typischesten wohl in den Blütenständen vieler Hippokrateaceen in die Erscheinung treten.[1] Den »oberen Beisproß« Eichler's, den er in der Besprechung der Infloreszenzen dieser Familie erwähnt (Blütendiagramme, Bd. I, p. 368), möchte ich als Hauptachselprodukt bezeichnen, die ungleiche Entwicklung als eine seriale Förderung, wie in unserem Falle von *Trisema Wagapii*. Es ist biologisch gewiß wahrscheinlicher, daß sich in dem durch die Blattbasis so gut geschützten Winkel zwischen Hauptachselprodukt und Blatt ein Meristem konserviert, um dann kräftig auszuwachsen, als daß dies in dem offen liegenden Raume zwischen einem Seitensproß und der Abstammungsachse geschieht.

Der eine Punkt, die Frage, was als Serialsproß in dem konkreten Falle zu bezeichnen ist, scheint mir demnach erledigt.

---

[1] Ein schönes Beispiel dafür bietet *Hippocratea indica* W. und die aus dem westlichen tropischen Afrika stammende *H. myriantha* Oliv. (leg. Mann Herb. Mus. Pal.); dagegen entbehren die dekussierten Pleiochasien der kamerunischen *H. bipindensis* Loes. (Zenker, n. 1295) der sonst in der Gattung so verbreiteten Beisprosse gänzlich.

Digitised by the Harvard University, Download from The BHL http://www.biodiversitylibrary.org/; www.biologiezentrum.at

Nun kommen die Verwachsungen. Die eine davon, nämlich das Verwachsen des Achselproduktes mit dem Tragblatt, wurde schon oben behandelt; es erübrigt also, das Verhältnis der serial angeordneten Achselprodukte zu besprechen. Der einfachste Fall wäre derjenige, bei welchem beide Sprosse in der Blattachsel stehen und keinerlei Verwachsungen stattfinden. Nun kann die Verwachsung serialer Sprosse gedeutet werden als eine Neigung zur Konkauleszenz von Seite des Serialsprosses oder aber als Neigung zur Rekauleszenz beim Hauptachselprodukt; da Rekauleszenz beim Serialsproß auftritt und, wo dieser fehlt, beim Hauptachselprodukt, so kann die Deutung wohl keinem Zweifel unterliegen. Ein solcher Passus macht wohl heute den Eindruck eines Reliktes aus der Zeit formellster Auffassung, es scheint mir aber mit Rücksicht auf Vorkommnisse bei Clusiaceen und auch anderen Familien nicht ganz gegenstandlos, eine solche Frage aufzuwerfen, da sich ihr wohl auch eine deszendenztheoretische Seite abgewinnen läßt; so neige ich zur Ansicht, daß bei *Tovomita rubella* Spruce,[1] wo aus Hauptachselprodukt und Serialsproß die Partialinfloreszenzen erster Ordnung zusammengesetzt sind, die Serialsprosse konkaulesziereu. Bei dem Hauptobjekt unserer Abhandlung rekaulesziereu beide Achselprodukte.

Es erübrigt noch, die Aufblühfolge darzustellen. Dies geschieht in der nebenstehenden Tabelle, die so eingerichtet ist, daß die horizontalen Zeilen den Entwicklungszustand, die vertikalen Kolonnen die Sproßgeneration angeben, der sie angehören, wodurch die Übersichtlichkeit, die ja bei wenig gewohnten Formeln immer zu wünschen übrig läßt, gewinnt.

---

[1] Originalexemplar vom Rio Negro; an anderer Stelle soll näher auf diese Verhältnisse eingegangen werden, ebenso auf *Cratoxylon ligustrinum* Korth. aus Hongkong, wo die Komplikation noch größer ist.

Digitised by the Harvard University, Download from The BHL http://www.biodiversitylibrary.org/; www.biologiezentrum.at

	Terminal-blüte	Priman-blüten	Sekundan-blüten	Tertian-blüten	Quartanblüten
1	T	—	—	—	—
2	—	$\mathfrak{R}_1''$	—	—	—
3	—	—	$\mathfrak{R}_1'' B_{s2}''$	—	—
4	—	$\mathfrak{R}_1'$	—	—	—
5	—	—	$\mathfrak{R}_1' B_{s2}$	—	—
6	—	—	$\mathfrak{R}_1'' B_{s2}'$	—	—
7	—	—	—	$\mathfrak{R}_1'' B_{s2}'' B_{d3}$	—
8	—	—	—	$\mathfrak{R}_1' B_{s2} B_{d3}$	—
9	—	—	—	$\mathfrak{R}_1'' B_{s2}' B_{d3}$	—
10	—	—	—	—	$\mathfrak{R}_1'' B_{s2}'' B_{d3} B_{s4}$
11	—	—	—	—	$\mathfrak{R}_1' B_{s2} B_{d3} B_{s4}$
12	—	—	—	—	$\mathfrak{R}_1'' B_{s2}' B_{d3} B_{s4}$

Man sieht, daß nach der Terminalblüte zunächst die seriale Primanblüte und dann erst die Primanblüte des Hauptachselproduktes folgt; wie aus den unter II und III mitgeteilten Fällen[1] hervorgeht, pflegt eben das geförderte Achselprodukt, der Serialsproß nämlich, dem Hauptachselprodukt in der Entwicklung vorauszueilen. Daß dies hier mit geradezu pedantischer Regelmäßigkeit geschieht, das lehren die unter 3 und 6 notierten Sekundanblüten, die Tertianblüten Nr. 7 und 9 sowie die Quartanblüten Nr. 10 und 12. Im übrigen wird weiter unten noch auf diese Verhältnisse einzugehen sein.[2]

II.

In ganz anderer Weise als im Falle I präsentiert sich ein demselben Herbarzweig entnommener Blütenstand, bei dem allerdings die Streckungen der einzelnen Scheinachsen sich

[1] p. 869, beziehungsweise 876.

[2] p. 880.

Digitised by the Harvard University, Download from The BHL http://www.biodiversitylibrary.org/; www.biologiezentrum.at

noch nicht vollzogen haben. Der in Fig. 4 abgebildete Blütenstand ist nur 25 *mm* lang, seine Terminalblüte noch nicht geöffnet. Mächtig tritt die Scheinachse hervor, an deren Bildung hier die Hypopodien des Hauptachselproduktes sowie zweier Serialsprosse beteiligt sind; weiterhin setzt sie sich bis zu der auffallenden Gabelung zusammen aus dem Hypopodium von $\mathfrak{N}_1'''B'_{s2}$ und $\mathfrak{N}_1'''B''_{s2}$ plus der verwachsenen Basis des in der Zeichnung Fig. 4 verdeckten Blattes $\mathfrak{N}_1'''\beta_s$. Die Blüten sind in der Abbildung ihrem Entwickelungszustande nach angeordnet; die Tabelle, die über die Bedeutung der einzelnen Blüten orientiert, ist genau wie die p. 867 und p. 876 mitgeteilten eingerichtet (siehe p. 869).

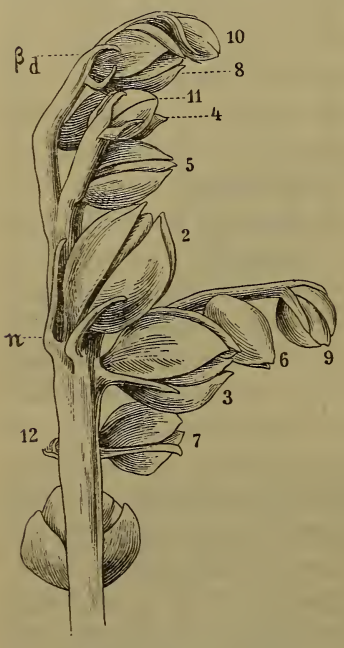

Fig. 4. *Trisema Wagapii* Vieill.

Blütenstand vor der Anthese. Länge des Objektes 25 *mm*. Näheres im Texte.

An Blättern wäre zu erwähnen das erste Hochblatt, wieder mit π bezeichnet und mit seinen Achselprodukten hoch hinauf verwachsen; rechts davon, in nahezu gleicher Höhe inseriert, das α-Vorblatt des zweiten, durch die Blüte $2 = \mathfrak{N}_1'''$ abgeschlossenen Serialsprosses; wenig weiter unten, etwas nach abwärts geneigt und vor Blüte $3 = \mathfrak{N}_1''$ stehend, deren α-Vorblatt, somit $\mathfrak{N}_1''\alpha_d$; fast parallel damit weiter unten das α-Vorblatt des ganz auffallend schwach entwickelten Hauptachselproduktes $\mathfrak{N}_1'$, dessen Primanblüte teilweise verdeckend. Das mit β_d abgekürzt bezeichnete Blatt ist ein Vorblatt des serialen β-Achselproduktes von $\mathfrak{N}_1'''\beta_s$, und zwar als $\mathfrak{N}_1'''B''_{s2}\beta_d$ zu bezeichnen; das rechts davon stehende, nach oben konkave Blatt ist $\mathfrak{N}_1'''B''_{s2}B_{d3}\alpha_d$. Das vor Blüte $11 = \mathfrak{N}_1'''B'_{s2}B_{d3}$ stehende Blatt ist deren Tragblatt, die rechts und links davon gezeichneten Blätter sind $\mathfrak{N}_1'''B'_{s2}\alpha_d$, beziehungsweise $\mathfrak{N}_1'''B'_{s2}\beta_s$. Die

Digitised by the Harvard University, Download from The BHL http://www.biodiversitylibrary.org/; www.biologiezentrum.at

	Terminal-blüte	Priman-blüten	Sekundan-blüten	Tertianblüten	Quartanblüten
1	T	—	—	—	—
2	—	$\mathfrak{N}_1'''$	—	—	—
3	—	$\mathfrak{N}_1''$	—	—	—
4	—	—	$\mathfrak{N}_1'''B_{s2}''$	—	—
5	—	—	$\mathfrak{N}_1'''B_{s2}'$	—	—
6	—	—	$\mathfrak{N}_1''B_{s2}$	—	—
7	—	$\mathfrak{N}_1'$	—	—	—
8	—	—	—	$\mathfrak{N}_1'''B_{s2}''B_{d3}$	—
9	—	—	—	$\mathfrak{N}_1''B_{s2}B_{d3}$	—
10	—	—	—	—	$\mathfrak{N}_1'''B_{s2}''B_{d3}B_{s4}$
11	—	—	—	$\mathfrak{N}_1'''B_{s2}'B_{d3}$	—
12	—	—	$\mathfrak{N}_1'B_{s2}$	—	—

Bestimmung der Kelchblätter läßt sich im Anschluß an das in Fig. 5 mitgeteilte Diagramm leicht durchführen, wenn man unter Berücksichtigung der stets eutopisch-quinkunzialen Stellung sich die Verhältnisse konstruiert. Die oben gegebene Beschreibung findet ihren Ausdruck im Diagramm Fig. 5, doch scheint damit die Abbildung wenig zu stimmen. Es fällt indessen nicht schwer, die Ursache aufzufinden.

Die Scheinachse verdeckt in Fig. 4 die Terminalblüte so, daß sie symmetrisch geteilt erscheint; das Blatt α steht dagegen schon erheblich nach links, ebenso sind die Blüten viel mehr dem Beschauer zugewendet, als das nach der Stellung von α zu erwarten wäre. Augenscheinlich handelt es sich hier um eine Torsion, die weniger mit der Konservierungsmethode zusammenhängt als mit der einseitigen, aus dem stets gleich orientierten β erfolgenden Förderung und Scheinachsenbildung; ein detaillierteres Verfolgen dieses Vorganges würde natürlich den Besitz eines ausgiebigen, in den verschiedensten Entwickelungsstadien befindlichen Materials zur Voraussetzung haben,

Digitised by the Harvard University, Download from The BHL http://www.biodiversitylibrary.org/; www.biologiezentrum.at

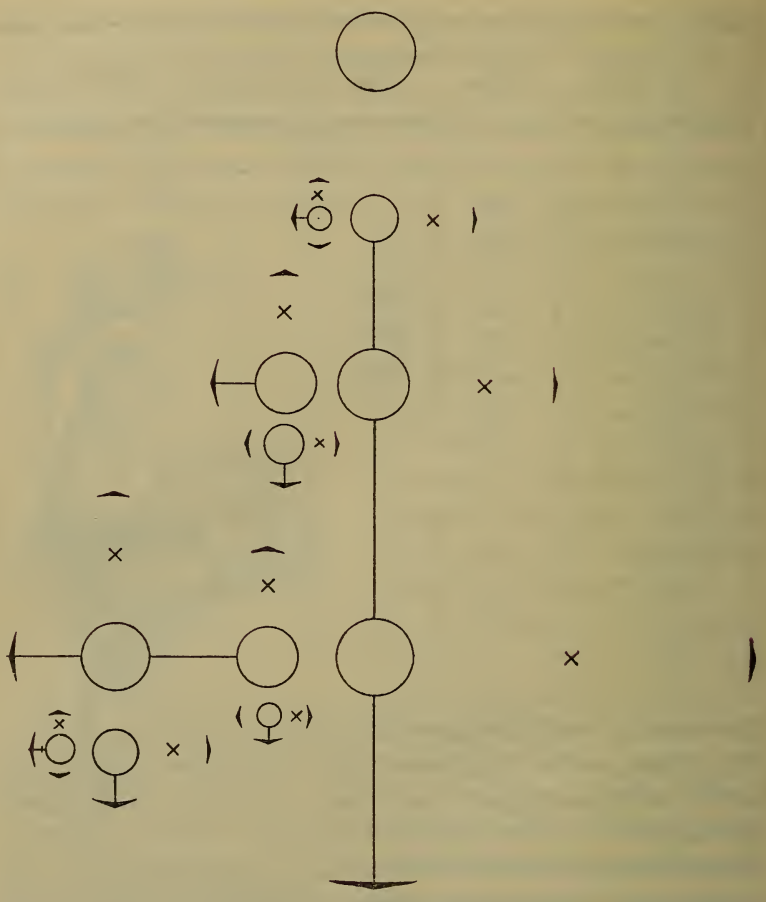

Fig. 5. *Trisema Wagapii* Vieill.

Diagramm des in Fig. 4 dargestellten Blütenstandes. Näheres im Texte.

gewiß ein Desiderium von recht geringer Aussicht in einer Gattung, von der man trotz halbhundertjähriger Bekanntschaft nur Vermutungen über die Beschaffenheit der Früchte hat.

III.

Der dritte zur Untersuchung gelangte Fall betrifft, wie Fig. 6 zeigt, einen Torso, in welchem einige Partialinfloreszenzen höherer Ordnung, durchwegs Wickelsympodien, abgebrochen sind. Somit ist es eben nicht möglich, anzugeben,

Digitised by the Harvard University, Download from The BHL http://www.biodiversitylibrary.org/; www.biologiezentrum.at

bis zu welcher Sproßgeneration die Sympodien ausgebildet waren; im übrigen wird die Interpretation des Falles dadurch nicht gestört.

Wie bei II sind auch hier die Achselprodukte von π vorhanden, doch ist die Verzweigung eine reichere, bedingt durch die Entwickelung eines serialen Wickelsympodiums auch aus dem β-Vorblatt des ersten Serialsprosses; hier verhält sich dieses einfache seriale Wickelsympodium, das sich aus $\mathfrak{N}_1''B_{d2}''\beta_s$ entwickelt, zu seinem Hauptachselprodukt wie $\mathfrak{N}_1'''B_{d2}''$ zu $\mathfrak{N}_1'''B_{d1}'$, beziehungsweise wie $\mathfrak{N}_1'''$ zu $\mathfrak{N}_1''$, d. h. das seriale β-Achselprodukt ist kräftiger entwickelt als das Hauptachselprodukt aus β im weiteren Sinne und übergipfelt dieses; das nämliche gilt vom zweiten, wiederum aus β serial bereicherten Serialsproß gegenüber dem ersten, gleichfalls aus β serial bereicherten. Wie im Falle II und, wenn schon weniger deutlich, im Falle I werden hier im Laufe der Entwickelung die Endblüten nicht nur durch die sich bildenden Achsenverwachsungen, beziehungsweise Scheinachsen zur Seite geworfen, die sich in die Verlängerung ihrer Abstammungsachse stellen, sondern der Vorgang wiederholt sich insofern, als der kräftigere erste Serialsproß das Hauptachselprodukt, der noch kräftigere zweite Serialsproß den ersten aus seiner Richtung abdrängt, so daß von der Scheinachse Äste mehr oder minder senkrecht abzustehen scheinen; man vergleiche in dieser Beziehung im Falle II das Verhalten von $\mathfrak{N}_1'$ und $\mathfrak{N}_1''$ mit ihren β-Achselprodukten, wie aus Fig. 4 ersichtlich, und dasjenige von $\mathfrak{N}_1'$ und $\mathfrak{N}_1''$ im Falle III, dargestellt in Fig. 6.

Das in Fig. 6 abgebildete Objekt mißt in seiner größten Ausdehnung 45 *mm* und hat bereits mehrere Blüten entfaltet. Wie immer, so gelangte auch hier zunächst die in der Abbildung unterste Terminalblüte zur Entwickelung, deren Kelchdeckung auf eine rechtsläufige Spirale hinweist. Die drei Achselprodukte aus π, wie immer unter sich homodrom, sind der Abstammungsachse antidrom, die α-Vorblätter fallen nach links, beziehungsweise sind gleich $\mathfrak{N}'[\alpha_s]$, wie die Kelchdeckung von $\mathfrak{N}_1'$ zeigt, nach links zu ergänzen. Dieses gänzliche Fehlen von $\mathfrak{N}_1'[\alpha_s]$, das durch die eckigen Klammern angedeutet sein mag, bedeutet eine Komplikation gegenüber dem Verhalten von II; ob das

Digitised by the Harvard University, Download from The BHL http://www.biodiversitylibrary.org/; www.biologiezentrum.at

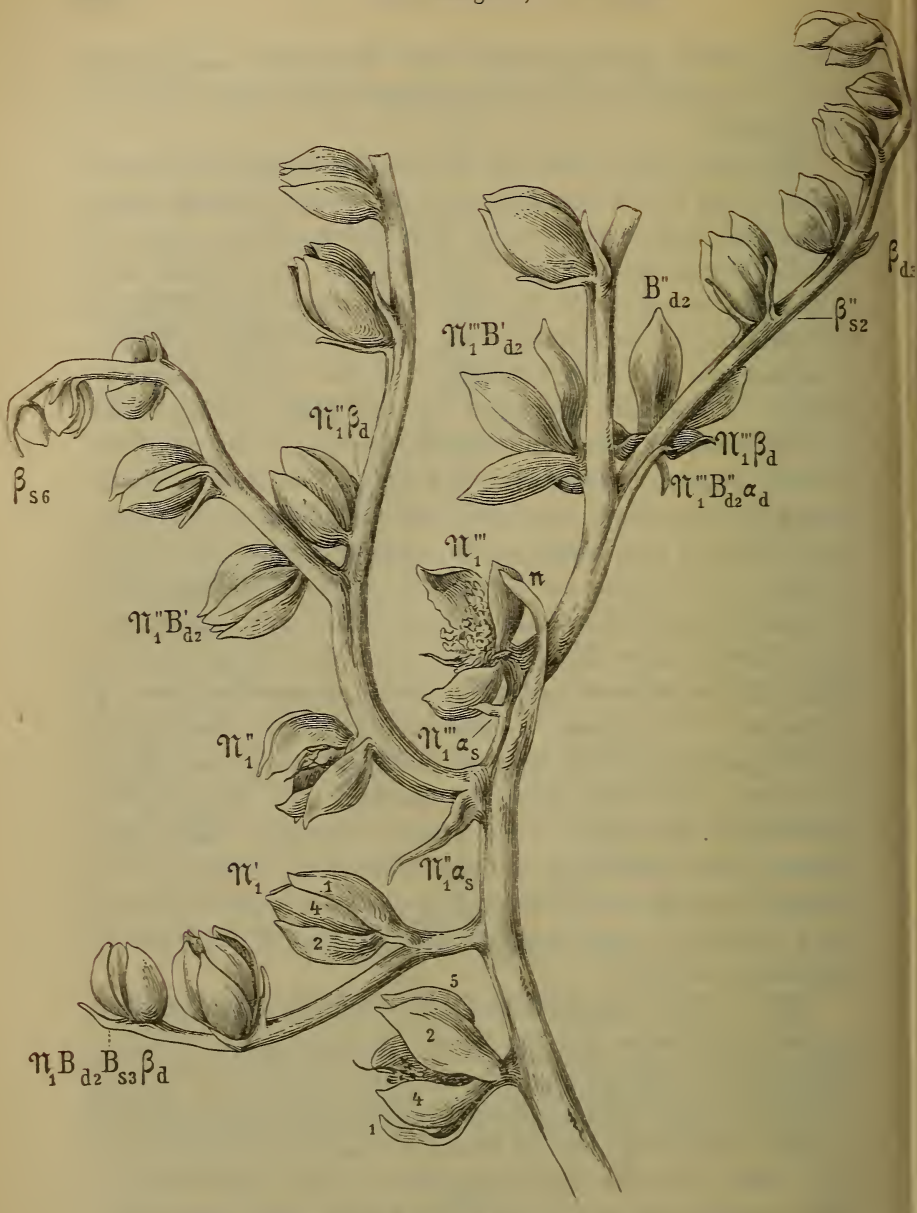

Fig. 6. *Triscma Wagapii* Vieill.

Mehrfach serial bereichertes Monochasium. Größe 45 *mm*. Näheres im Texte.

Abkürzungen: B''_{d2} für $\mathfrak{N}_1'''B''_{d2}$;

β''_{s2} für $\mathfrak{N}_1'''B''_{d2}\beta_{s2}$;

β_{d3} für $\mathfrak{N}_1'''B''_{d2}B_{s3}\beta_d$;

β_{s6} für $\mathfrak{N}_1''B_{d2}B_{s3}B_{d4}B_{s5}B_{d6}\beta_s$.

Digitised by the Harvard University, Download from The BHL http://www.biodiversitylibrary.org/; www.biologiezentrum.at

öfters vorkommt, kann natürlich an der Hand eines so beschränkten Materials nicht festgestellt werden. Immerhin erweckt es den Anschein und trägt sogar den Stempel einer gewissen Wahrscheinlichkeit, daß das α-Vorblatt des Hauptachselproduktes sich bereits in einem labilen Gleichgewicht befindet. Da trotz reicher Verzweigung, trotz vollkommenen Fehlens direkt koordinierter Sproßsysteme das α-Vorblatt in keinem einzigen Falle ein Achselprodukt aufweist, vielmehr die Infloreszenzbildung hier ausschließlich dem β-Vorblatt zufällt; da wir ferner, wenn nicht alles trügt, ganz analoge Erscheinungen bei den schon oben erwähnten Schumacherien und wohl auch bei *Wormia*-Arten und gewissen Hibbertien[1] haben, so scheint die Annahme nicht von der Hand zu weisen, daß die zunächst anzunehmende Dichasienbildung schon längst verschwunden ist und einer ganz einseitigen Förderung aus β Platz gemacht hat. Der hiedurch bewirkte numerische Ausfall wird ausgeglichen durch die Serialbildungen und in biologischer Hinsicht ist das Zustandekommen einer sparrigen Verzweigung, wie sie oben geschildert wurde, gewiß von Vorteil, so daß damit wohl geradezu eine Überkompensation des durch die Sterilität des α-Vorblattes bedingten Mankos gegeben sein dürfte. Nun lehrt mannigfache Erfahrung, daß Brakteen oder Brakteolen, die keine Achselprodukte mehr hervorbringen, vielfach in der Entwickelung zurückbleiben; man braucht nur die Rispen von Gartenecheverien, also amerikanischen Vertretern der Gattung *Cotyledon* anzusehen und man wird die sehr reduzierten α-Vorblätter finden, die in Abbildungen von ungeschulten Zeichnern hier wie bei *Sedum*-Arten wohl meist übersehen werden und in höheren Sproßgenerationen überhaupt nicht mehr auftreten; oder die Gattung *Aesculus*, deren Partialinfloreszenzen Wickelsympodien aus β darstellen, wobei das α-Vorblatt vielfach fehlt.[2] Die Beispiele ließen sich noch sehr

[1] Cfr. p. 859, Anmerkung.

[2] Die Angabe Eichler's (Blütendiagramme, Bd. 2, p. 350), daß α gänzlich unterdrückt sei (cfr. auch l. c. p. 346, Fig. 137 *A*, Diagramm von *Aesculus Hippocastanum* L.) ist nicht allgemein zutreffend; bei der häufig kultivierten *Ae. parviflora* Walt. (*Ae. macrostachya* Mchx.) werden öfters Doppelwickeln ausgebildet, ebenso erinnere ich mich, bei *Ae. californica* Nutt. an Herbar-

Digitised by the Harvard University, Download from The BHL http://www.biodiversitylibrary.org/; www.biologiezentrum.at

vermehren; es bedarf aber keiner weiteren Ausführungen, daß vom Ausbleiben eines Achselproduktes bis zur Unterdrückung des Tragblattes nur ein kleiner Schritt ist. Außerdem zeigen die Serialsprosse in manchen Fällen ein ursprünglicheres Verhalten als das Hauptachselprodukt; ich erinnere nur an die Fälle von *Phlox paniculata* L., wo das Hauptachselprodukt ein einziges freies Vorblatt aufweist, nämlich das α-Vorblatt — Schraubelsympodien stellen dort den extremen Fall von Förderung aus α dar — während der Beisproß dichasialen Typus aufweist. Mit solchen Verhältnissen, die übrigens noch viel zu wenig studiert sind, würde das Verhalten des Hauptachselproduktes im Falle III, der übrigens eine kleine Torsion erlitten hat, recht gut in Einklang zu bringen sein. Aus diesen Gründen braucht man nicht zum Deus ex machina einer teratologischen Erscheinung zu greifen, wenn man das Fehlen von $\mathfrak{R}_1'[\alpha_s]$ erklären will.

In Fig. 7 sind, wie in früheren Publikationen wiederholt,[1] der Einfachheit halber die Infloreszenzen durch doppelte Kreise bezeichnet, die im konkreten Falle β-Wickelsympodien darstellen. Eine Darstellung des Diagrammes in der gewöhnlich üblichen, in den Figuren 3 und 5 gebrauchten Weise verbietet sich durch den Raum, den Sympodien aus β einnehmen; ist doch eine dieser Scheinachsen in der Zeichnung erst durch die Oktanblüte $\mathfrak{R}_1'''B_{d2}''B_{s3}B_{d4}B_{s5}B_{d6}B_{s7}B_{d8}$ abgeschlossen. Die Darstellung würde eine Doppeltafel großen Formates beanspruchen, wodurch die Druckkosten sehr erheblich wachsen würden, die Deutlichkeit aber nur sehr wenig. Die Entwickelungsstadien sind in der Weise angedeutet, daß die einfachen, beziehungsweise doppelten Kreise der Größe nach abnehmen, wobei für die Doppelkreise eben deren relative Terminalblüte zu lesen ist. Demnach haben wir die Aufblühfolge: Terminalblüte, dann $\mathfrak{R}_1'''$, $\mathfrak{R}_1''$, $\mathfrak{R}_1'''B_{d2}''$, $\mathfrak{R}_1'''B_{d2}'$, $\mathfrak{R}_1''B_{d2}''$, $\mathfrak{R}_1''B_{d2}'$, $\mathfrak{R}_1'$, $\mathfrak{R}_1'B_{d2}$. Stellt man diese Daten, die der Einfachheit wegen nur die Sekundanblüten noch umfassen, tabellarisch zusammen und

exemplaren dergleichen gesehen zu haben. Auch im Falle einseitiger Wickelbildungen findet man wenigstens das α-Primanvorblatt bei *Ae. parviflora* häufig ausgebildet, wenn schon von sehr geringer Größe.

[1] Diese Sitzungsberichte, Bd. 110, Abt. I, p. 532 sqq., zuerst angewendet.

Digitised by the Harvard University, Download from The BHL http://www.biodiversitylibrary.org/; www.biologiezentrum.at

ergänzt man sie aus den Angaben über die Fälle II und I, so erhält man ein übersichtliches Bild von der Aufblühfolge.

Zwecks Erhöhung der Übersichtlichkeit sind hier die irrelevanten Richtungsindices weggelassen. Überall findet man zunächst die Termialblüte geöffnet, dann die Primanblüte des zweiten, beziehungsweise einzigen Serialsprosses, darauf ent-

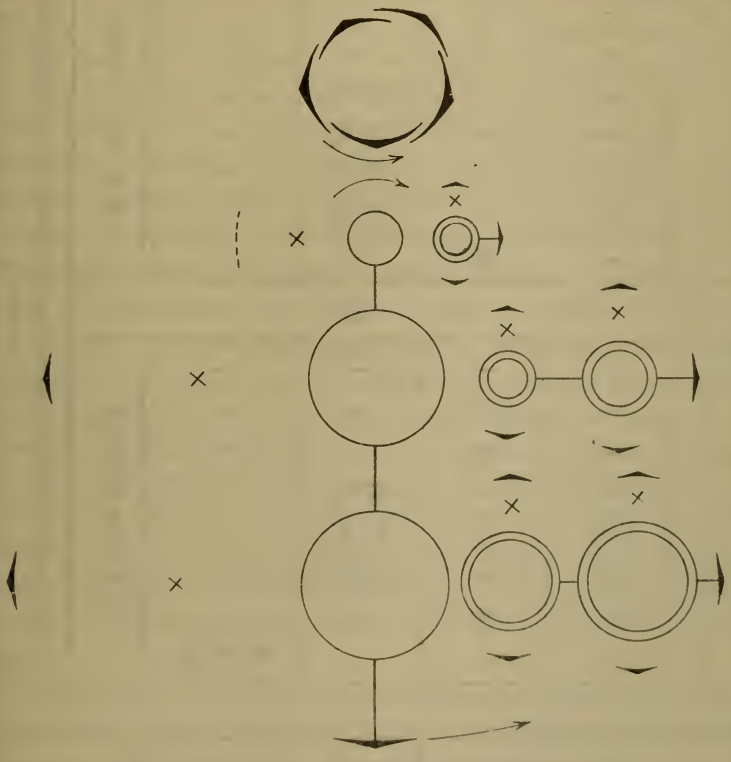

Fig. 7. *Trisema Wagapii* Vieill.

Abgekürztes Diagramm des in Fig. 6 abgebildeten Falles.

weder die des ersten oder die einem Serialsproß angehörende Sekundanblüte. Innerhalb der Sekundanblüten kann man dann eine ganz analoge Reihenfolge beobachten; zu Tertianblüten gelangt man selbstverständlich am raschesten bei geringer Beisproßentwicklung.

Digitised by the Harvard University, Download from The BHL http://www.biodiversitylibrary.org/; www.biologiezentrum.at

	Terminal-blüte	Priman-blüten	Sekundan-blüten	Tertianblüten		
			III.			
1	T	—	—	—	$\mathfrak{R}'_1 B_2$ serial bereichert	$\mathfrak{R}_1$ setzt sich aus Hauptachselprodukt und zwei Serialsprossen zusammen
2	—	$\mathfrak{R}'''_1$	—	—		
3	—	$\mathfrak{R}''_1$	—	—		
4	—	—	$\mathfrak{R}'''_1 B''_2$	—		
5	—	—	$\mathfrak{R}'''_1 B'_2$	—		
6	—	—	$\mathfrak{R}''_1 B''_2$	—		
7	—	—	$\mathfrak{R}''_1 B'_2$	—		
8	—	$\mathfrak{R}'_1$	—	—		
			II.			
1	T	—	—	—	$\mathfrak{R}'_1 B_2$ nicht bereichert	
2	—	$\mathfrak{R}'''_1$	—	—		
3	—	$\mathfrak{R}''_1$	—	—		
4	—	—	$\mathfrak{R}'''_1 B''_2$	—		
5	—	—	$\mathfrak{R}'''_1 B'_2$	—		
6	—	—	$\mathfrak{R}''_1 B_2$	—		
7	—	$\mathfrak{R}'_1$	—	—		
8	—	—	—	$\mathfrak{R}'''_1 B''_2 B_d$		
			I.			
1	T	—	—	—	$\mathfrak{R}_1$ aus Hauptachselprodukt und einem Serialsproß	
2	—	$\mathfrak{R}''_1$	—	—		
3	—	—	$\mathfrak{R}''_1 B''_2$	—		
4	—	$\mathfrak{R}'_1$	—	—		
5	—	—	$\mathfrak{R}'_1 B_2$	—		
6	—	—	$\mathfrak{R}''_1 B'_2$	—		
7	—	—	—	$\mathfrak{R}''_1 B''_2 B_3$		
8	—	—	—	$\mathfrak{R}'_1 B'_2 B_3$		

Digitised by the Harvard University, Download from The BHL http://www.biodiversitylibrary.org/; www.biologiezentrum.at

Was die anderen Arten der Trisemen anbelangt, so sind des dürftigen Materials wegen die Erfahrungen nur sehr oberflächlicher Natur. Die am längsten bekannte Art, auf die die Gattung gegründet wurde, *Tr. coriaceum* Hook. fil., liegt mir in Exemplaren vor, die Vieillard sub n. 973 auf der oben genannten Insel Wagap gesammelt hat. Eines dieser Exemplare, das sich habituell am meisten an Fall III von *Tr. Wagapii* anschließt, läßt mit voller Deutlichkeit drei Achselprodukte des auf die Laubblätter folgenden Hochblattes erkennen, das auch hier bis zu $\mathfrak{R}_1'''$ mit seinem Achselprodukt verwachsen ist; das sterile α-Vorblatt der genannten Blüte steht hier aber nicht unmittelbar unterhalb des Kelches, sondern ist erheblich tiefer inseriert; ebenso finden wir an der durch Verwachsungen gebildeten Scheinachse das Vorblatt $\mathfrak{R}_1'\alpha_s$, während der durch $\mathfrak{R}_1''$ abgeschlossene Sproß, also der erste Serialsproß von n, fast genau rechtwinkelig durch $\mathfrak{R}_1'''$ zur Seite geworfen erscheint. Das Vorblatt des Hauptachselproduktes, $\mathfrak{R}_1'\alpha_s$, hat seine Stelle ungefähr in der Mitte des von $\mathfrak{R}_1''+\mathfrak{R}_1'''$ zur Seite geworfenen Teiles von $\mathfrak{R}_1'$. An dem — soweit es das Material erlaubt — genauer untersuchten Blütenstand ist einmal eine Homodromie des Hauptachselprodukles sowie der beiden Serialsprosse zu konstatieren und dann eine Förderung des durch $\mathfrak{R}_1'''B_{d2}''$ eingeleiteten Sympodiums gegenüber dem relativen Hauptachselprodukt $\mathfrak{R}_1'''B_{d2}$. Von den Partialinfloreszenzen zweiter Ordnung ist nur die zweite serial bereichert, von denen zweiter Ordnung keine.

Wir finden somit bei *Tr. coriaceum* Hook. fil. übereinstimmend mit *Tr. Wagapii* Vieill. die Bildung eines serial bereicherten Monochasiums, dessen Partialinfloreszenzen erster Ordnung sämtlich homodrom sind. Die Partialinfloreszenzen zweiter Ordnung stellen beim Hauptachselprodukt und dem ersten Serialsproß einfache Winkelsympodien aus β dar, das jeweils mit seinem Achselprodukt verwachsen ist, beim zweiten Serialsproß aber serial bereicherte, und zwar serial geförderte, gleichfalls homodrome Wickelsympodien. Das sind Züge, die mit dem Verhalten von *Tr. Wagapii* Vieill. voll und ganz in Einklang zu bringen sind und, wenn sich in puncto des Verhaltens der α-Primanvorblätter eine Differenz ergibt, so mag

Digitised by the Harvard University, Download from The BHL http://www.biodiversitylibrary.org/; www.biologiezentrum.at

darauf hingewiesen werden, daß es sich dabei doch nur um quantitative Unterschiede handelt, die durch ein etwas ausgiebigeres Material gewiß leicht ausgeglichen werden können.[1]

Eine weitere Art, *Trisema Vieillardi* Brongn. et Gris,[2] zeigt die nämlichen einseitswendigen Partialinfloreszenzen; habituell schließt sie sich so an die besprochenen Fälle an, daß auch ohne detaillierte Untersuchung, die die Dürftigkeit des Materials verbietet, die Art als im wesentlichen mit den anderen übereinstimmend betrachtet werden kann.

Den kompliziertesten Bau der Infloreszenz finden wir bei *Trisema Pancheri* Panch. et Seb.[3] Trotz des mangelhaften Erhaltungszustandes läßt sich feststellen, daß hier die Terminalblüte in gewohnter Weise übergipfelt und zur Seite geworfen wird, wobei das Tragblatt der Partialinfloreszenzen — wie überall als Hochblatt ausgebildet — weit hinauf verwächst. Hier scheint sich $\mathfrak{R}_1$ aus dem Hauptachselprodukt und drei, wenn nicht vier Serialsprossen zusammenzusetzen und entsprechend finden wir eine stärker betonte Entwickelung der β-Achselprodukte im Sinne der serialen Sproßbildung; konnte doch in einem der Fälle eine Blüte $\mathfrak{R}_1'''B_{s2}'''$ mit voller Bestimmtheit nachgewiesen werden, deren β-Vorblatt wiederum ein serial gefördertes Achselprodukt stützt. Die Serialsproßbildung erstreckt sich somit hier auf Sproßgenerationen, in denen wir bei anderen Arten nur einfache Achselprodukte feststellen konnten. Im

---

[1] Die von Hooker fil., l. c., tab. 1, publizierte Abbildung ist zu sehr von rein zeichnerischem Standpunkt aus aufgenommen, gar viel des Wesentlichen verschwindet unter dem Indument. Immerhin läßt sich mir voller Sicherheit die hier teilweise durch die Scheinachse verdeckte Terminalblüte erkennen; ihr beinahe opponiert ist das Tragblatt der Partialinfloreszenzen erster Ordnung, in unseren Fällen mit n bezeichnet, zu sehen. Die Partialinfloreszenzen sind unter sich in gewohnter Weise verwachsen, das letzte seriale Achselprodukt rekaulesziert aber so gut wie gar nicht, was wohl zu Gunsten der oben entwickelten Anschauungen spricht.

[2] Montagnes ferrugineuses de Kanala, leg. Vieillard, n. 60, 61; cfr. Bull. Soc. Bot. France, Vol. XI (1864), p. 191; Ann. Sc. Nat., Sér. V, Vol. II (1864), p. 150.

[3] Pancher und Sebert, Not. Bois. Nouv. Caléd., p. 211; vom Kew-Index zu *Tr. coriaceum* gezogen.

Digitised by the Harvard University, Download from The BHL http://www.biodiversitylibrary.org/; www.biologiezentrum.at

übrigen schließt sich *Tr. Pancheri* an die besprochenen Formen an.

Das *Trisema salicifolium* Brong. et Gris, von Gilg als *Hibbertia Brongniartii* bezeichnet, habe ich nicht gesehen, doch kann man der Beschreibung nach annehmen, daß es mit großer Wahrscheinlichkeit den durch die übrigen Arten gegebenen Rahmen nicht verläßt.

Solange es nicht möglich ist, an einem ausgiebigen Material sämtliche Formen, über deren Bewertung ich mich eines jeden Urteils enthalten möchte, genau zu studieren, erscheint es mir müßig, den genetischen Zusammenhang der Arten in den Bereich der Spekulation zu ziehen. Das nämliche gilt von den Beziehungen der Trisemen zu den anderen Gattungen, von denen die wohl nächststehende *Hibbertia* ist; wie in den systematischen Werken stets betont, ist der Blütenbau ein sehr mannigfaltiger und hat dadurch zur Aufstellung mehrerer Gattungen Veranlassung gegeben. Auch hier ist für eine moderne Systematik der Boden noch nicht geebnet, die morphologischen Verhältnisse sind eben nur so weit untersucht worden, als sie zur Aufstellung von Sektionen, beziehungsweise Gattungen sowie zur leichten Unterscheidung der Arten verwendbar schienen; zu Erörterungen über die Phylogenie läßt hier das Vergleichsmaterial im Stich, da eben die Vorbedingung, die genaue Kenntnis der Verhältnisse, zur Zeit noch gänzlich fehlt. Somit sind wir bezüglich der Frage nach der Ableitung der *Trisema*-Monochasien — und um sehr abgeleitete, nichts weniger als ursprüngliche Gestaltungen handelt es sich hier, darüber besteht wohl nicht der mindeste Zweifel — auf Analogieschlüsse angewiesen; das scheint ein bedenklicher Punkt, da es analoge Verhältnisse in anderen Familien, soweit bekannt, nicht gibt. Doch läßt sich bei allem Mangel an einer in biologischen Fragen so oft versagenden exakten Beweisführung mit einem hohen Grade von Wahrscheinlichkeit annehmen, daß die Trisemen von Formen abstammen, die serial bereicherte Pleiochasien hatten, so etwa, wie wir sie in großer Verbreitung bei den Melastomaceen finden, wo wenigstens die unteren Partialinfloreszenzen erster Ordnung bei zahlreichen

Digitised by the Harvard University, Download from The BHL http://www.biodiversitylibrary.org/; www.biologiezentrum.at

Arten der verschiedensten Gattungen serial bereichert sind. Die Förderung aus dem β-Vorblatt ist ein Charakter, den wir häufig antreffen, wie ein Blick in Eichler's »Blütendiagramme« zeigt; ebenso sind die Rekauleszenzen ungleich viel häufiger, als aus den Literaturangaben hervorgeht; sie stellen eine Komplikation dar und sind dem gewöhnlichen Verhalten des Achselsprosses gegenüber als abgeleitet zu betrachten. Die Förderung des Serialsprosses, beziehungsweise die basipetale Förderung der Serialsprosse ist ein, wie schon oben bemerkt, nur selten beobachteter Charakter, gewiß ein Novum in der Entwickelung der Trisemen. Der Gedanke liegt nahe, daß diese mächtige Ausbildung der Beisprosse mit der weitgehenden numerischen Reduktion der die Achselprodukte stützenden Hochblätter im Zusammenhange steht, mit anderen Worten, daß in jener Zeit, als die Sterilität des α-Vorblattes sich einzustellen begann, auch die Entwicklung der Beisprosse kräftiger wurde. Ob diese Annahme durch das noch ausstehende Studium der Hippocrateaceenrispen eine Stütze finden wird, läßt sich natürlich zur Zeit noch nicht sagen; aber ohne das subjektive Moment zu sehr in den Vordergrund treten zu lassen, kann man über die Richtungen, in denen sich die Veränderungen an den Infloreszenzen abspielen, durch ausgedehnte vergleichende Untersuchungen ein bestimmtes Urteil sich bilden, das es uns gestattet, trotz des völlig mangelnden paläontologischen Materials gewisse Schlüsse auf den Bau der längst ausgestorbenen Vorfahren zu ziehen.